

**ТЕРМОМЕХАНИЧЕСКОЕ ПОВЕДЕНИЕ  
ПРЯМОУГОЛЬНОЙ ВЯЗКОУПРУГОЙ ПРИЗМЫ  
ПРИ ЦИКЛИЧЕСКОМ РАСТЯЖЕНИИ — СЖАТИИ**

*В. Г. Карнаухов, И. К. Сенченков*

(Киев)

Задача о вибрационном теплообразовании имеет важное значение при исследовании работоспособности вязкоупругих элементов конструкций, подверженных циклическим нагрузкам. Вследствие существенной зависимости физико-механических свойств от температуры, их низкой теплопроводности расчет тепловых режимов является одной из основных задач при конструировании различного рода виброзащитных систем типа многослойных стержней, пластин и оболочек [1], стеклопластиковых и резиометаллических изделий, в частности, амортизаторов [2, 3].

Особый интерес представляет расчет критических параметров, превышение которых вызывает быстрый рост температуры (явление теплового взрыва), что ведет к частичной или полной потере несущей способности изделия из-за размягчения материала.

В работе [4] для расчета теплообразования в плоском амортизаторе использовался вариационный метод. Удовлетворение граничных условий производилось на основе принципа Сен-Венана.

В данной работе на основе точного решения квазистатической задачи термовязкоупругости исследованы напряженно-деформированное состояние, температурное поле саморазогрева и тепловая неустойчивость длинной прямоугольной призмы, подверженной периодическому нагружению (плоская деформация).

1. Основные уравнения термоупругости приведены в [5]. При  $\nu = \text{const}$ , заменив модуль сдвига  $\mu$  оператором  $\mu^*$ , можно получить основные уравнения термовязкоупругости. Будем искать решение этих уравнений для пластины  $|\xi| \leq 2L$ ,  $|\eta| \leq 2H$  при следующих граничных условиях:

$$(1.1) \quad \begin{aligned} u_x &= 0, \quad u_y = \pm La(t) \quad \text{при } y = \pm y_0; \\ \sigma_x &= 0, \quad \sigma_{xy} = 0 \quad \text{при } x = \pm 1, \end{aligned}$$

где  $x = \xi/L$ ,  $y = \eta/L$  — безразмерные координаты;  $y_0 = H/L$ .

Решение уравнений равновесия в перемещениях, обладающее достаточным функциональным произволом для удовлетворения граничных условий (1.1), имеет вид

$$(1.2) \quad \begin{aligned} \frac{u_x}{L} &= \sum_{n=1}^{\infty} \left[ B_n \left( \frac{3 - 4\nu}{\lambda_n} \operatorname{sh} k_n x - x \operatorname{ch} k_n x \right) - D_n \operatorname{sh} k_n x \right] \times \\ &\times \cos k_n y + \sum_{j=1}^{\infty} (C_j y \operatorname{sh} \lambda_j y + A_j \operatorname{ch} \lambda_j y) \sin \lambda_j x; \\ \frac{u_y}{L} &= 2\gamma_0 (1 - 2\nu) y + \sum_{n=1}^{\infty} (B_n x \operatorname{sh} k_n x + D_n \operatorname{ch} k_n x) \sin k_n y + \\ &+ \sum_{j=1}^{\infty} \left[ C_j \left( \frac{3 - 4\nu}{\lambda_j} \operatorname{sh} \lambda_j y - y \operatorname{ch} \lambda_j y \right) - A_j \operatorname{sh} \lambda_j y \right] \cos \lambda_j x, \end{aligned}$$

где  $\gamma_0$ ,  $A_j$ ,  $C_j$ ,  $B_n$ ,  $D_n$  — неизвестные коэффициенты;  $k_n = \frac{(2n-1)\pi}{2y_0}$ ;  $\lambda_j = \pi j$ . После подстановки перемещений (1.2) в уравнения состояния

получим выражения для напряжений. Удовлетворяя граничным условиям, как и в работе [6], приходим к бесконечной системе алгебраических уравнений

$$(1.3) \quad t_n x_n = \sum_{j=1}^{\infty} y_j \left[ \frac{k_n^2}{(k_n^2 + \lambda_j^2)^2} - \frac{1-v}{k_n^2 + \lambda_j^2} \right] + \frac{4v a(t)}{y_0 k_n^2};$$

$$s_j y_j = \sum_{n=1}^{\infty} x_n \left[ \frac{k_n^2}{(k_n^2 + \lambda_j^2)^2} - \frac{1-v}{k_n^2 + \lambda_j^2} \right],$$

где

$$t_n = -\frac{1}{4k_n} \left( \frac{k_n}{\operatorname{sh}^2 k_n} + \operatorname{cth} k_n \right);$$

$$\varepsilon_j = \frac{y_0}{4} \left[ \frac{3-4v}{\lambda_j} \operatorname{th} \lambda_j y_0 - \frac{y_0}{\operatorname{ch}^2 \lambda_j y_0} \right].$$

В работах [7, 8] доказывается, что системы вида (1.3) вполне регулярны и главные части асимптотических разложений  $x_n, y_j$  при больших  $n, j$  можно представить в виде

$$(1.4) \quad x_n = \frac{b_0}{k_n^\alpha}, \quad y_j = \frac{d_0}{\lambda_j^\alpha},$$

где  $b_0, d_0, \alpha$  — постоянные величины и  $\alpha$  является положительным корнем трансцендентного уравнения

$$(3-4v) \cos \frac{\pi \alpha}{2} = \alpha^2 - (1-2v)^2.$$

Отметим, что при  $0 \leq v \leq 0,5$  для  $\alpha$  справедливо неравенство

$$(1.5) \quad 0,5 < \alpha \leq 1.$$

Установление асимптотического поведения неизвестных  $x_n, y_j$  и введение в (1.3) замены

$$x_n = \frac{x_p k_p^\alpha}{k_n^\alpha} (n > p), \quad y_j = \frac{y_q \lambda_q^\alpha}{\lambda_j^\alpha}$$

дает возможность заметно улучшить метод простой редукции. В отличие от метода простой редукции улучшенный метод редукции позволяет определить значения всех неизвестных  $x_n, y_j$  решением системы  $p+q$  уравнений. Решение конечной системы значительно облегчается возможностью применения метода последовательных приближений. При использовании этого метода современные вычислительные средства позволяют легко решать системы в несколько сотен уравнений

На основе асимптотических выражений (1.4) можно провести полный анализ напряженно-деформированного состояния в любой точке тела, включая угловую. Подробный анализ поведения напряжений при подходе к угловой точке проведем только для компоненты  $\sigma_y$ , поскольку поведение остальных компонент исследуется аналогично.

Имеем

$$(1.6) \quad \sigma_y^* = J^* \frac{\sigma_y}{2\mu_0} = 2(1-v)\gamma_0 - \frac{1}{4} \sum_{n=1}^{\infty} (-1)^n x_n \times$$

$$\times \left[ x k_n \frac{\operatorname{sh} k_n x}{\operatorname{sh} k_n} - k_n \left( \operatorname{cth} k_n - \frac{1}{k_n} \right) \frac{\operatorname{ch} k_n x}{\operatorname{sh} k_n} \right] \cos k_n y + \frac{y_0}{4} \sum_{j=1}^{\infty} (-1)^j y_j \times$$

$$\times \left\{ [\lambda_j y_0 \operatorname{th} \lambda_j y_0 + 2(1-v)] \frac{\operatorname{ch} \lambda_j y}{\operatorname{ch} \lambda_j y_0} - \lambda_j y \frac{\operatorname{sh} \lambda_j y}{\operatorname{ch} \lambda_j y_0} \right\} \cos \lambda_j x.$$

Здесь  $J$  — оператор, обратный оператору  $\mu^*$ ;  $\mu_0$  — мгновенный модуль сдвига;

$$\gamma_0 = \frac{a(t)}{2(1-2\nu)y_0 - \frac{\nu}{2} \sum_{n=1}^{\infty} x_n/k_n^2}.$$

В области  $|x| < 1$ ,  $|y| < y_0$  ряды в (1.6) сходятся быстро, тогда как, например, при  $y = y_0$  получаем

$$(1.7) \quad \sigma_y^* \approx \frac{\gamma_0 y_0 (1-\nu) d_0}{2} \sum_{j=1}^{\infty} (-1)^j \frac{\cos \lambda_j x}{\lambda_j^\alpha}.$$

Принимая во внимание неравенство (1.5), видим, что получение надежных числовых значений сумм (1.7) возможно только после улучшения сходимости этих рядов [9]. Использование известных разложений [10] приводит к следующему расчетному варианту формулы (1.6) при  $y=y_0$ :

$$(1.8) \quad \begin{aligned} \sigma_y^* = 2(1-\nu)\gamma_0 + \frac{(1-\nu)y_0\gamma_0}{2} \sum_{j=1}^q (-1)^j \left( y_j - \frac{y_q \lambda_q^\alpha}{\lambda_j^\alpha} \right) \cos \lambda_j x + y_q \lambda_q^\alpha F(x), \\ \text{где} \quad F(x) = \frac{(1-x)^{\alpha-1}}{2^\alpha \Gamma(\alpha) \cos \frac{\pi\alpha}{2}} - \frac{\sqrt{\pi}}{2^{\alpha+1} \Gamma(\alpha + \frac{1}{2}) \cos \frac{\pi\alpha}{2}} + \\ + \sum_{j=1}^N \left[ \frac{(-1)^j}{\lambda_j^\alpha} - \sqrt{\frac{\pi \lambda_j}{2}} \frac{\frac{J}{\alpha - \frac{1}{2}}(\lambda_j)}{\lambda_j^\alpha \cos \frac{\pi\alpha}{2}} \right] \cos \lambda_j x. \end{aligned}$$

Критерием выбора  $q$  и  $N$  служит выполнение неравенства

$$\left| \sum_{j=q+1}^{\infty} (-1)^j \frac{\cos \lambda_j x}{\lambda_j^{\alpha+1}} \right| < \epsilon,$$

где  $\epsilon$  — заданная точность вычисления напряжений. В этом случае граничные условия (1.1) будут выполнены с той же точностью. Из (1.8) следует, что при  $x \rightarrow 1$

$$(1.9) \quad \sigma_y^* \rightarrow \frac{(1-\nu)\gamma_0 y_0 d_0}{4\Gamma(\alpha) \cos \frac{\pi\alpha}{2}} (1-x)^{\alpha-1}.$$

Остальные компоненты тензора напряжений при подходе к угловой точке ведут себя аналогично. Таким образом, напряжения в пластине вблизи точки раздела граничных условий имеют ту же особенность, что и в задаче для четвертьплоскости [11]. С точностью до обозначений полученное решение пригодно для анализа плосконапряженного и плоскодеформированного состояний.

2. При циклическом нагружении  $a(t) = a_0 \cos \omega t$  диссипативная функция и уравнение энергии определяются аналогично [6]. Усредненное уравнение за цикл и присоединяя к нему начальные и граничные условия, имеем

$$(2.1) \quad \frac{\partial \theta}{\partial t} = \varepsilon \Delta \theta + \frac{1}{c\rho} D_1,$$

$$(2.2) \quad \frac{\partial \theta}{\partial \xi} \pm h_1(\theta - \theta_0) = 0 \quad \text{при } \xi = \pm L;$$

$$\frac{\partial \theta}{\partial \eta} \pm h_2(\theta - \theta_0) = 0 \quad \text{при } \eta = \pm H,$$

где

$$D_1 = \frac{\omega \mu_2 A \gamma}{4\mu_1^2} \left( \sigma_x^{02} + \sigma_y^{02} + \sigma_z^{02} + 2\sigma_{xy}^{02} - \frac{v}{1+v} \sigma^{02} \right);$$

$\kappa = \frac{k}{c\rho}$  — температуропроводность;  $c$  — теплоемкость;  $\rho$  — плотность;  $A$  — тепловой эквивалент механической работы;  $\gamma$  — часть энергии расщепления, переходящая в тепловую [12];  $h_i$  — коэффициенты теплоотдачи;  $\sigma_i^0$  — напряжения, равные упругим при  $\mu = \mu_1$ .

Соотношение (1.9) показывает, что диссипативная функция имеет особенность в угловой точке вида

$$(2.3) \quad D_1 \rightarrow D_0 [(1-x)^2 + (y_0-y)^2]^{1-\alpha} \text{ при } x \rightarrow 1, y \rightarrow y_0.$$

Используя методы теории потенциала и учитывая (1.5), можно доказать, что при  $h_1^2 + h_2^2 \neq 0$  температура имеет конечные значения во всех точках области. Для решения задачи (2.1), (2.2) можно использовать известные численные методы. При этом в достаточно малой окрестности угловой точки необходимо заменить значения функции  $D_1$  ее средненеинтегральным значением, вычисленным по формуле (2.3). Такое «сглаживание» функции источников не приводит к значительной погрешности в большинстве практических расчетов. Точное решение может быть получено методом наложения решений [9].

В достаточно широком диапазоне параметров нагружения уровень разогрева будет таким, что температурной зависимостью физико-механических свойств можно пренебречь. В этом случае температурное поле саморазогрева определяется решением линейной системы (2.1), (2.2).

3. При интенсивном нагружении пренебрежение зависимостью свойств материала от температуры в уравнении энергии не дает правильного количественного и качественного описания вибрационного разогрева. Полагая в связи с этим

$$(3.1) \quad \mu_2 = \mu_{02} \Phi [\beta(\theta - \theta_0)]$$

для установившихся решений (2.1), (2.2), приходим к задаче

$$(3.2) \quad \Delta u + \lambda f(x, y) \Phi(u) = 0;$$

$$\frac{\partial u}{\partial x} \pm B_1 u = 0 \quad \text{при } x = \pm 1;$$

$$\frac{\partial u}{\partial y} \pm B_2 u = 0 \quad \text{при } y = \pm y_0,$$

где  $\Phi$  — некоторая функция;  $\beta$ ,  $\mu_{02}$  — экспериментальные постоянные;

$$(3.3) \quad x = \frac{\xi}{L}, \quad y = \frac{\eta}{L}, \quad u = \beta(\theta - \theta_0), \quad B_1 = Lh_1, \quad B_2 = Lh_2,$$

$$\lambda = \frac{\omega \mu_{02} \sigma_0^2 L^2 \beta \gamma}{\kappa}, \quad f(x, y) = \frac{1}{4\mu_1^2 \sigma_0^2} \left( \sigma_x^{02} + \sigma_y^{02} + \sigma_z^{02} + 2\sigma_{xy}^{02} - \frac{v}{1+v} \sigma^{02} \right)$$

— безразмерные величины. Границные условия (3.3) в дальнейшем будем записывать в более общем виде

$$(3.4) \quad \frac{\partial u}{\partial n} + Bh(x, y) u = 0 \quad \text{на } S.$$

Задача (3.2), (3.4) встречается также при исследовании температурных полей вязких жидкостей, газов и газовых смесей [13], при электрическом разогреве проводников и электролитов [14], при расчете внутреннего разогрева ледников [15] и т. д.

Наибольший интерес представляют те критические значения  $\lambda_*$  параметра  $\lambda$ , выше которых не существует положительных решений нелинейной системы (3.2), (3.4). В работах [1, 2, 16, 17] определены критические значения в ряде одномерных задач для конкретных функций  $\Phi$ . Обзор математических аспектов этой проблемы дан в [18]. В большинстве работ предполагается известным тривиальное решение  $u_0$ , что равносильно  $\Phi(u_0)=0$ . Для источников тепла, действующих в вязкоупругих средах, это условие не выполняется.

Можно доказать, что если функция  $\frac{u}{\Phi(u)}$  ограничена, то справедливо неравенство

$$(3.5) \quad \lambda_* < \chi_0,$$

где  $\chi_0$  — минимальное собственное число вспомогательной линейной задачи

$$(3.6) \quad \begin{aligned} \Delta v + \chi f(x, y)v &= 0 \quad \text{в } V; \\ \frac{\partial v}{\partial n} + Bh(x, y)v &= 0 \quad \text{на } S. \end{aligned}$$

При тех же ограничениях в работе [14] получено выражение для верхней оценки  $\hat{\lambda}$  значений  $\lambda_*$

$$(3.7) \quad \lambda_* \leq \hat{\lambda} = \chi_0 \max_{u \geq 0} \frac{u}{\Phi(u)}.$$

Неравенство (3.7) дает весьма хорошее приближение для  $\lambda_*$ , особенно при малых  $B$ . Вместе с тем способ получения этого соотношения не позволяет построить приближения более высоких порядков.

Запишем уравнение (3.1) в виде

$$\Delta u + \chi f u = f[\chi u - \lambda \Phi(u)]$$

и будем решать исходную систему методом последовательных приближений. В результате приходим к линейным краевым задачам:

$$(3.8) \quad \begin{aligned} \Delta u_0 + \chi f u_0 &= 0 \quad \text{в } V; \\ \frac{\partial u_0}{\partial n} + Bh u_0 &= 0 \quad \text{на } S; \end{aligned}$$

$$(3.9) \quad \begin{aligned} \Delta u_n + \chi f u_n &= f[\chi u_{n-1} - \lambda_n \Phi(u_{n-1})] \quad \text{в } V; \\ \frac{\partial u_n}{\partial n} + Bh u_n &= 0 \quad \text{на } S. \end{aligned}$$

Оценки (3.5), (3.7) указывают на необходимость положить  $\chi = \chi_0$ . Решение (3.8) запишем в виде

$$(3.10) \quad u_0 = Cv_0,$$

где  $v_0$  — ортонормированная собственная функция (3.8), соответствующая  $\chi = \chi_0$ . Подставляя (3.10) в (3.9) при  $n = 1$ , из условия существования решения задачи получим

$$(3.11) \quad \lambda_0 = \frac{\chi_0 C}{\int_V f \Phi(Cv_0) v_0 dV}.$$

Так как  $C$  — произвольная постоянная, легко доказать, что без потери общности можно потребовать выполнения условий

$$\int_V f u_n v_0 dV = 0 \quad (n = 1, 2, \dots).$$

Тогда решения систем (3.9) представим в виде

$$u_1 = Cv_0 + \sum_{j=1}^{\infty} \frac{\alpha_j}{\chi_j - \chi_0} v_j \quad \left( \alpha_j = \int_V [\chi_0 u_0 - \lambda_0 \Phi(u_0)] v_j dV \right) \dots,$$

где  $\chi_j$ ,  $v_j$  — собственные числа и функции задачи. В результате условия существования решений задач (3.9) приводят к последовательности

$$(3.12) \quad \lambda_{n-1} = \chi_0 \int_V f u_{n-1} v_0 dV / \int_V f \Phi(u_{n-1}) v_0 dV.$$

Значения  $\lambda_n(C) \rightarrow \lambda(C)$  при  $n \rightarrow \infty$ .

Таким образом, построение зависимости  $\lambda(C)$  сводится в каждом приближении к вычислению квадратур в (3.11), (3.12). В случае неограниченности отношения  $\frac{u}{\Phi(u)}$  возможен другой выбор  $\chi$ . Например, если существует такое  $u_0$ , что  $\Phi(u_0)=0$ , тогда в приведенных выше формулах необходимо заменить  $\chi_0$  на  $\chi_j$  ( $j=1, 2, \dots$ ), т. е. каждое собственное число задачи (3.6) является точкой бифуркации системы (3.2), (3.4). Анализ зависимости  $\lambda(C)$  позволяет определить критические значения  $\lambda_*$  и исследовать явление ветвления решений нелинейной задачи. Собственные числа и функции линейной задачи могут быть найдены па основе известных методов [9].

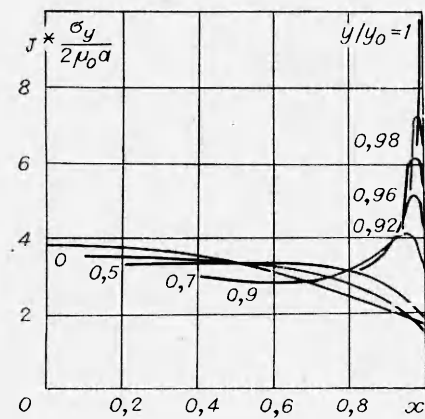
4. Числовой расчет проводился для  $L=0,05$  м,  $y_0=0,88$ ,  $v=0,5$ . В бесконечной системе удерживалось по 100 неизвестных  $x_n$  и  $y_j$ . При использовании метода последовательных приближений первые шесть знаков неизвестных переставали изменяться после 10–12 итераций. Полученное решение обеспечивало выполнение граничных условий с точностью до четырех значащих цифр. При расчете напряжений на граничных поверхностях сходимость рядов улучшалась по методу Крылова [9].

На фиг. 1, 2 представлены распределения нормального и касательного напряжений в пластине. Можно видеть, что напряженное состояние, близкое к однородному, имеет место лишь в центральной части тела. Наличие особенности обуславливает резкое возрастание напряжений при подходе к угловой точке. Аналогично ведет себя в этой области и диссипативная функция. На фиг. 3 приведены значения  $f$ , рассчитанные по формуле (3.3). Для определения температуры задача (2.1), (2.2) решалась методом конечных разностей с переменным шагом при  $h_1=40$ ,  $h_2=5240$  м<sup>-1</sup>. С учетом сделанных выше замечаний среднеинтегральное значение функции  $f$  вычислялось в угловой клетке  $0,02L \cdot 0,02Ly_0$  по формуле (2.3). На фиг. 4 представлено установившееся температурное поле, вычисленное с точностью до множителя  $r = \frac{\omega \mu_2 \gamma a_0^2 L^2 A}{k}$ .

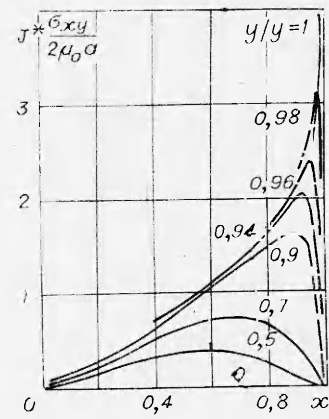
При заданных условиях влияние краевого эффекта на температуру практически не сказывается и максимальная температура достигается в центральной точке пластины. При исследовании тепловой неустойчивости собственные числа и функции  $\chi_j$  и  $v_j$  линейной задачи (3.6) определялись методом Бубнова. Приближенные решения представлялись в виде

$$(4.1) \quad v_j^{(s)} = \sum_{n=1}^s \sum_{m=1}^s b_{nm} \cos \lambda_m x \cos k_n y,$$

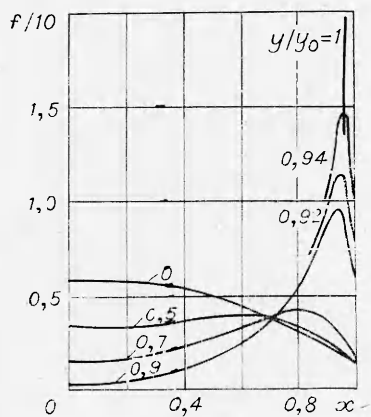
где  $\lambda_m$ ,  $k_n$  — корни трансцендентных уравнений, получаемых из граничных условий (3.2). Функция  $f(x, y)$  аппроксимировалась по точкам методом наименьших квадратов суммами вида (4.1). В результате получены следующие приближения  $\chi_0^{(s)}$  значения  $\chi_0$ :  $\chi_0^{(1)}=1,0095$ ,  $\chi_0^{(2)}=0,99605$ ,  $\chi_0^{(3)}=-0,99557$ , что дает основание положить  $\chi_0=0,9956$ .



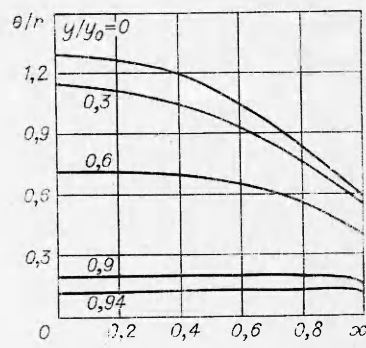
Ф и г. 1



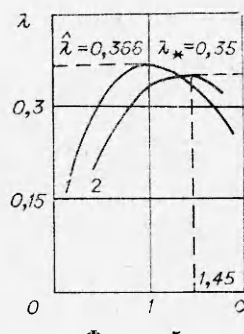
Ф и г. 2



Ф и г. 3



Ф и г. 4



Ф и г. 5

Для широкого класса вязкоупругих материалов [17] в (3.1)  $\Phi(u) = \exp(u)$ . График  $\lambda(C)$ , полученный для этой зависимости, приведен на фиг. 5. Кривые 1, 2 получены по формулам (3.7), (3.11) соответственно. Обе формулы дают удовлетворительное соответствие по максимальным значениям  $\lambda$  и значительное расхождение по амплитудам  $C$ . Зависимость  $\lambda(C)$  является уравнением ветвления нелинейной задачи (3.2), (3.3) и показывает, что при  $\lambda < \lambda_*$  существует два решения, при  $\lambda = \lambda_*$  — одно и при  $\lambda > \lambda_*$  решений не существует. При  $\lambda > \lambda_*$  имеет место неограниченный рост температуры (тепловой взрыв).

Поступила 5 XI 1974

#### ЛИТЕРАТУРА

1. Snowdon J. C. *Vibration and shock in damped mechanical systems*. N. Y. a. o, Wiley, 1968.
2. Немец Я., Серенсен С. В., Стреллев В. С. Прочность пластмасс. М., «Машиностроение», 1970.
3. Потураев В. А. Резиновые и резинометаллические детали машин. М., «Машиностроение», 1966.
4. Лавендел Э. Э., Санкин В. А. Расчет температурного поля при кинематическом возбуждении амортизатора.— «Вопросы динамики и прочности», 1969, вып. 19.
5. Коваленко А. Д. Основы термоупругости. Киев, «Наукова думка», 1970.
6. Грінченко В. Т., Карнаухов В. Г., Сенченков I. K. Напружене-деформованій стан і температурне поле сущільного в'язко-пружного скінченого циліндра при його кінематичному збудженні.— «Доповіді АН УРСР», 1974, № 2.
7. Гринченко В. Т. О точном решении осесимметричной задачи теории упругости для жестко защемленной плиты.— «Изв. АН АрмССР. Сер. физ.-мат. наук», 1963, т. XVI, № 5.
8. Гринченко В. Т., Коваленко А. Д., Улитко А. Ф. Анализ напряженного состояния жестко защемленной пластины на основе решения пространственной задачи теории упругости.— В кн.: Труды VII Всесоюз. конф. по теории пластин и оболочек. М., «Наука», 1970.
9. Канторович Л. В., Крылов В. И. Приближенные методы высшего анализа. М.—Л., Физматгиз, 1962.
10. Рыжик И. М., Градштейн И. С. Таблицы интегралов, сумм, рядов и произведений. М.—Л., ГИТТЛ, 1951.
11. Уфлянд Я. С. Интегральные преобразования в задачах теории упругости. Л., «Наука», 1967.
12. Олдырев П. П., Тамуж В. П. Рассеяние энергии в стеклотекстолите при циклическом растяжении — сжатии.— «Механика полимеров», 1969, № 4.
13. Fujita H. On the nonlinear equations  $\Delta u + e^u = 0$  and  $dv/dt = \Delta v + e^v$ .— «Bull. Amer. Mathem. Soc.», 1969, vol. 75, N 1.
14. Joseph D. D., Sparrow E. M., Nonlinear diffusion induced by nonlinear sources.— «Quart. Appl. Mathem.», 1970, vol. 28, N 3.
15. Божинский А. И., Григорян С. С. О внутреннем разогреве и скольжении ледников.— «Докл. АН СССР», 1973, т. 212, № 3.
16. Коваленко А. Д., Карнаухов В. Г. О теплообразовании в вязкоупругих оболочках вращения при периодических воздействиях.— В кн.: Термовые напряжения в элементах конструкций. Киев, «Наукова думка», 1971, № 11.
17. Москвитин В. В. Сопротивление вязкоупругих материалов. М., «Наука», 1972.
18. Келлер Д. Б., Антман С. Теория ветвления и нелинейные задачи на собственные значения. М., «Мир», 1974.